



Le son comme porteur d'informations biologiquement actives, de spectres de polarisation-laser et d'ondes radio.

Les résultats de la présente étude montrent, que l'impact des Mantra tibétains et de la version acoustique des Ondes Radio de Polarisation Laser (ORPL) des spectres des plantes médicinales (Helichryse, Gotu-Kola, Gingo-Ti, Millepertuis, Gingembre, Agripaume, le chardon-Marie, etc..) et des minéraux (le B-quartz, la Citrine dorée, la Pierre de soleil, le Topaze), ont un effet positif sur les diagnostics de pouls tibétain (DPT) et de l'électropuncture (DEP). Il y a augmentation de l'activité fonctionnelle de tous les canaux d'acupuncture, qui est la base du développement de la technologie de freinage du vieillissement chez l'homme.

Introduction

L'organisme humain, depuis le niveau des structures cellulaires (des protéines, de l'ADN, l'ARN, le cytosquelette, les chromosomes, les ribosomes, les mitochondries) et pour finir sur les niveaux de cellules-tissus-organes, possèdent la capacité d'auto-organisation et d'homéostasie. Cette capacité est mise en œuvre à tous les niveaux de l'organisme, depuis le niveau quantique et moléculaire et plus loin par la biochimie et la physiologie jusqu'à l'activité nerveuse supérieure. Ces processus sont régulés. L'un des vecteurs principaux de cette régulation c'est l'activité de computing ondulatoire de l'appareil chromosomique, mis en œuvre par des fonctions endogènes holographique, électromagnétiques et autres [2, 7, 10]. Ces conceptions sont apparus comme une nouvelle orientation dans les moyens de calcul, lorsque les molécules d'ADN ont été utilisées pour du « calcul parallèle » des structures, et on l'appelait « l'informatique ADN » [12]. En l'utilisant telle une « informatique », on a créé l'algorithme pour résoudre ce qu'on appelle le problème du « commis-voyageur », consistant par exemple, à tracer le chemin le plus court pour visiter chacune des sept (ou plus) villes. Pour la résolution de cette tâche il n'a fallu qu'une semaine, alors qu'il aurait fallu plusieurs années par des calculateurs numériques traditionnels. On a utilisé pour cela le phénomène de base, propre aux molécules de l'ADN: la capacité de ses chaînes solitaires (monocaténaire) à la reconnaissance mutuelle ultrarapide. Ce phénomène consiste, en ce que tout fragments de chacune des deux

chaînes d'ADN en solution (ou dans les chromosomes d'une cellule vivante) va retrouver seulement son propre, homologue image-miroir, et reconstitue une spirale double normale. Ce phénomène est l'une des manifestations de la propriété communes aux bio structures hautement organisées et des bio polymères, à l'auto-assemblage. C'est ainsi que s'auto-assemblent les ribosomes, in-vitro et in-vivo, les membranes, les chromosomes, les virus et les phages. De même l'ADN monobrin associe pour former de l'ADN double brin. Le succès et la vitesse des recherches mutuelles spontanées des moitiés de l'ADN, en tant qu'acte d'auto-organisation (d'auto-assemblage), ont permis la grande vitesse de tri, à travers des milliards d'options dans le problème « du voyageur de commerce ». Les causes et les mécanismes d'identification mutuelle, rapide et précise, des moitiés d'ADN, semblable à la reconnaissance entre codon et anticodon lors de la synthèse de protéines, ou de l'antigène et de l'anticorps dans les processus immunitaires, des enzymes avec leurs substrats, etc.. n'ont pas été explorées jusqu'à présent. Les mécanismes stratégiques de reconnaissance mutuelle sur de longues distances, à l'échelle de la cellule vivante, (sur des centaines et des milliers d'Angström), qui dépassent une reconnaissance proche (qui est d'un à trois Angström), propres aux liaisons ionique, de Van der Vals et aux interactions hydrophobes, constituent une difficulté particulière. Et en plus, c'est une erreur de considérer les fonctions d'association de l'ADN monocaténaire comme une fonction de calcul. Le fait est que, l'évaluation de la combinatoire des options de l'assemblage des fragments d'ADN et ses résultats, dans le cadre du problème du « voyageur de commerce », c'est à dire en fait le vrai calcul, est réalisé par des gens. L'ADN donne des milliards de solutions possibles, mais c'est l'être humain qui choisit la bonne solution [13]. La véritable informatique ADN, en vivo ou in vitro se déroule différemment, à savoir, en utilisant les principes de l'holographie, des solitons, de la non-localité quantique et autres modèles [14]. Cette approche a conduit à la création d'un modèle pilote de calculateur quantique (CQ), qui est capable de piloter des processus physiologiques et métaboliques, dans les systèmes biologiques, à l'aide de rayonnements photoniques, électromagnétiques polarisés, porteurs de sémantique (spectres à large bande) [7,1415].

Voici les résultats

Nous avons analysé les indicateurs du diagnostic de pouls tibétain (DPT) et du diagnostic d'électropuncture (DEP) chez les patients participants au séminaire, maîtrisant la technique d'auto-régulation psychophysologique «Ключ» (la clé) [8]. L'auto-régulation c'est la CLÉ pour VOUS-MÊME, c'est la clef du système de l'auto-organisation, d'auto-développement et de l'auto-amélioration. C'est la voie la plus simple pour atteindre l'harmonie intérieure [1,3]. Durant le séminaire on a utilisé le programme avec l'interaction acoustique des rayonnements polarisés du laser, modulé par des plantes médicinales et des minéraux, et l'impact acoustique des mantras Tibétains, enregistrés à l'aide du calculateur biologique quantique(CBQ). En conformité avec la représentation des canaux de l'acupuncture (CA) en tant que systèmes fonctionnels, participant à réalisation des interactions psychosomatiques, il est raisonnable de s'attendre , à ce que la version acoustique des spectres de rayonnement polarisé laser (RPL), qui conserve les propriétés des informations de la radiation ondulatoire originale, dans ce cas, des plantes et des minéraux, devrait être reflétée dans les indicateurs de l'activité fonctionnelle des canaux d'acupuncture (CA). La méthode la plus instructive d'évaluation de l'état des CA, et à travers elle,

de l'état des organes internes, ce sont les diagnostics de pouls tibétain (DPT) [4] et d'électropuncture (DEP) [6]. Cette hypothèse est confirmée par les résultats des DEP des guérisseurs et des indicateurs de DPT et DEP des participants du séminaire «Initiation à l'autorégulation «Ключ» (la clé) », qui, après un conditionnement psychologique approprié, ont été capable de marcher sur du verre pilé et des charbons ardents, sans blessures [8].

Dans cet article, nous tenterons d'analyser les changements dans la dynamique de certains indicateurs CA chez les participants du séminaire, conditionnés par l'influence d'une version acoustique des spectres RPL, sélectionnés comme un facteur de normalisation des fonctions des organes internes et du ralentissement du vieillissement.

Les principaux moyens d'évaluation des résultats ont été les diagnostics DPT et DEP chez les participants au séminaire, utilisant le programme de normalisation fonctionnelle des organes internes pour l'inhibition du processus du vieillissement, sous l'effet des mantras Tibétains et une version acoustique des spectres RPL issus de plantes médicinales et de minéraux.

Matériaux et méthodes

Les recherches sont réalisées au cours de l'atelier de 5 jours, défini comme «une méthode approfondie d'autorégulation». 36 personnes ont assisté à ce séminaire, qui maîtrisaient la méthode d'autorégulation «Ключ» (la clé); 9(25%) d'hommes et 27(75%) de femmes. L'âge moyen des patients du groupe principal: $51,9 \pm 2,7$ ans. Les mesures par DPT et DEP étaient réalisées avant le séminaire, puis 1 jour sur deux, et 10 jours après la séance d'autorégulation.

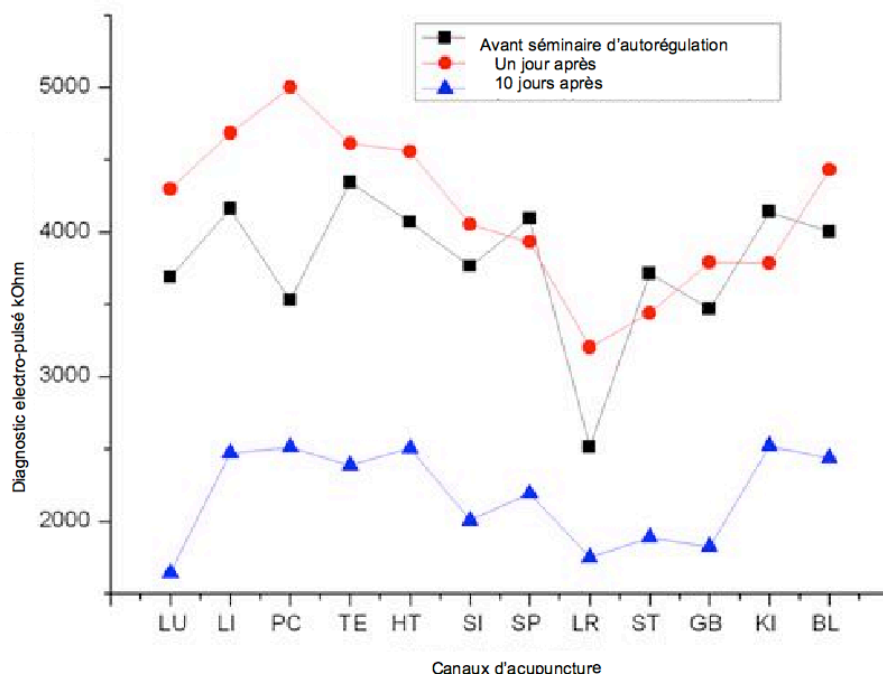
Pour mémoriser les spectres bio-actifs RPL, nous avons créé un Calculateur Quantique Biologique (CQB). Le laser He-NE produisant une lumière visible cohérente (d'une puissance de 2mW, et de longueur d'onde 632,8 nm) ayant deux, modes optiques, polarisés orthogonalement en intensité, qui peuvent interagir entre eux de manière, à ce que la somme des intensités reste constante. [2, 5, 7]. Lors de l'interaction d'au moins un mode du rayonnement laser avec l'objet scanné (du donateur) il se produit la lecture de l'information quantique depuis le donateur, en raison de la redistribution d'intensité de ces modes optiques, selon la loi de variation de la polarisation, correspondant au nouvel état, après l'interaction entre le faisceau laser et les micro polarisateurs dynamiques du donateur scanné, ou des substances à biogénétiq ue, comme du matériel végétal ou des cellules vivantes. L'un des modes du rayonnement laser, pour un certain mode de génération, est capable, lors de l'interaction avec le donateur, d'être la cause d'un rayonnement biologiquement actif, modulé, à large bande, du calculateur CQB (Le rayonnement électromagnétique à large bande RELB, le spectre RPL) dans la gamme de 2 à 0 [5, 7]. Ce faisant le RELB est corrélé avec des modulations dans des modes de rayonnement optique du laser de balayage, et c'est pourquoi le RELB conserve l'information quantique biologique, obtenue lors de la lecture optique du matériau du donneur. Ces modulations dépendent des oscillations rotationnelles des microstructures des constituants des objets scannés (par exemple, les domaines de cristaux liquides de l'ADN dans les chromosomes des plantes), c'est à dire de l'activité optique, biologiquement signifiante, du donneur. Le rayonnement électromagnétique à large bande RELB (le spectre RPL) sous forme d'un signal d'onde radio dans la gamme de 640 kHz, après avoir été détecté par le récepteur radio, est envoyé sur l'entrée d'un convertisseur analogique-digital d'un ordinateur personnel, avec un programme de

traitement spécial. À la sortie on enregistre un spectre de Fourier dynamique du signal radio, décrivant les paramètres biologiquement significatifs du donneur à numériser. La physique de ces processus est décrite en détail [5]. Ainsi, le rayonnement laser radio généré par CQB, constitue le résultat de la lecture d'une information ondulatoire, biologiquement active, jusqu'alors inconnue (quantique) de toute substance adaptée, de minéraux, d'extraits de plantes, de tissus et de cellules vivantes, de bio structures cellulaires, de l'ADN, de l'ARN, etc.. Une telle information peu être introduite, de façon non invasive et en toute sécurité, en tant que commande de régulation stratégique, dans un organisme humain, et des animaux , des plantes et des microorganismes [11]. Le spectre RPL peut être converti en un spectre acoustique et être gravé sur un disque compact (CD) au format mp3, c'est à dire en un enregistrement sonore, de la gamme audible habituelle, qui conserve les informations bioactives du rayonnement de radiofréquence et photonique, originaux [2,10]. Les échantillons des spectres sur CD sont courtoisement fournis pour tout usage légal, ACAD, par P.P. Gariaev, Académie des Sciences de Russie . L'étude des effets biologiques des enregistrements des spectres RLP, sous version acoustique a été réalisée selon la technique précédemment développée [6,8]. Chaque examen diagnostique unique se conclut par les procédures de DPT et DEP. Pour comparer les indices analysés de l'état fonctionnel des CA, on a utilisé une échelle d'estimations à 5 points [6,8] des minéraux et des plantes médicinales.

Résultats et discussion

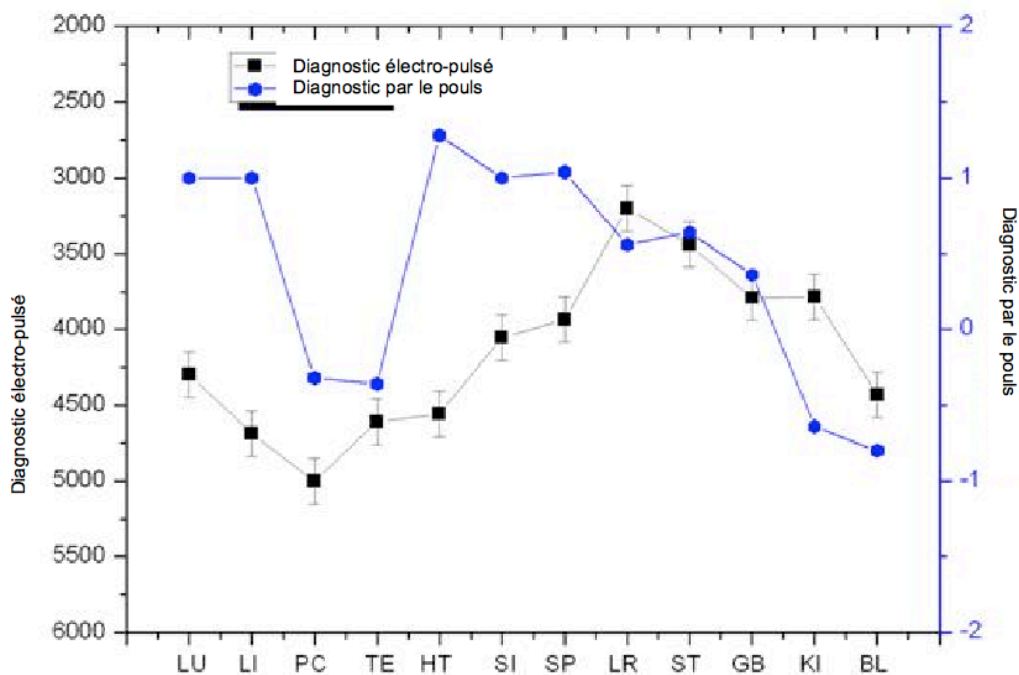
L'amélioration de l'état fonctionnel des canaux d'acupuncture (CA) a été observée au dixième jour après la tenue du séminaire sur l'autorégulation par le son des mantras Tibétains et du spectre de RPL-acoustique de plantes médicinales et de minéraux. Ils ont montré, au lendemain de la fin du séminaire une dispersion des indicateurs CA avec « redondance » des CA des jambes, et « insuffisance » des CA des mains, cela indique que l'interaction sonore a changé l'état fonctionnel des CA, qui s'est harmonisé en 10 jours.

Figure 1



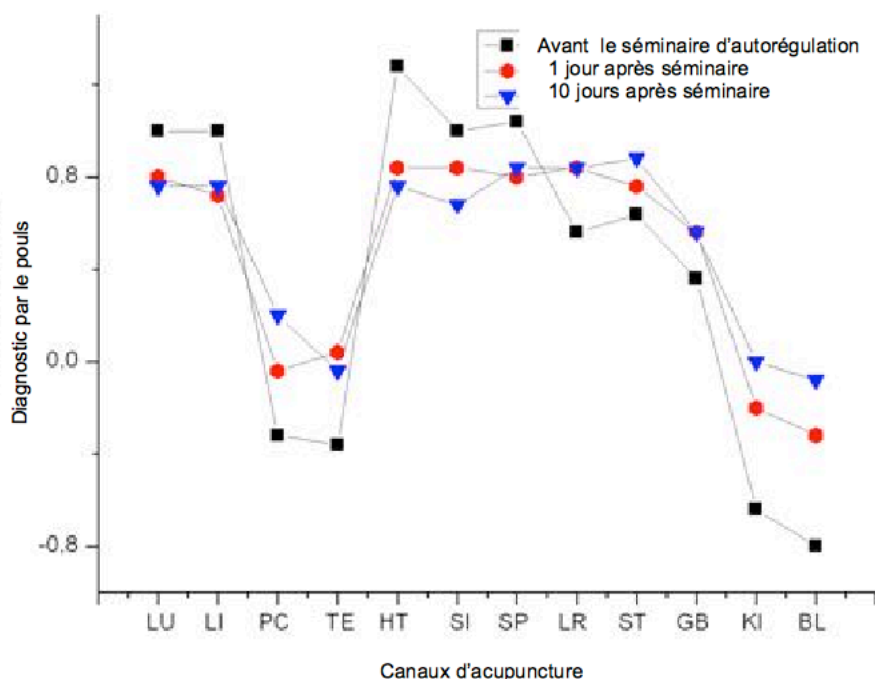
La disparité de l'état fonctionnel des CA a complètement disparue, mais l'activité fonctionnelle de tous les CA s'est conservée. Il est indispensable de noter, que le DEP enregistre le pourcentage du ratio de l'état de la santé dans un régime d'observation dynamique. Une amélioration générale de la santé est observée chez 29 séminaristes, de 17% à 36%. 7 des participants ont enregistré des changements de 5% à 9%, comme à l'origine, avant le séminaire, leurs taux étaient de 80% à 89% (soit des taux conventionnels) de bonne santé. Les autres participants, avant l'atelier, montraient des taux DEP de 46% à 68% de santé.

Il faut noter, qu'en réalisant le test du DEP, les valeurs pour les CA, correspondent à une valeur négative de DTA, à cause de l'augmentation de la résistivité électrique au-dessus de la normale. Pour plus de simplicité de la perception visuelle des indicateurs des deux diagnostics, l'axe des y ($\kappa\Omega$) y est représenté de haut en bas. On constate qu'il existe une convergence d'orientation des déviations des paramètres du DPT et DEP et cela indique qu'il existe une coïncidence des résultats, à l'exception du canal NT.



Les variations des résultats de DPT sont représentées comme avec DEP, on a une tendance à réduire la dispersion des valeurs des indicateurs de DPT, après la tenue du séminaire sur l'autorégulation. Les paramètres de DPT tendent vers la « normale », c'est à dire vers la valeur 0.

L'analyse de l'interaction sur les CA, d'après les résultats de DPT et DEP réalisés en calculant à l'aide des coefficients Kendall, de corrélation non-paramétriques. Les résultats des calculs sur les DEP sont donnés dans la figure 1 ci-dessus. Le tableau 2 présente les coefficients de corrélation Kendall, établis pour des résultats de mesure de DTA, avant et après le déroulement du séminaire d'autorégulation.



Les valeurs des coefficients de corrélation de Kendall, ayant un niveau significatif sont indiqués en gras, La diagonale centrale, sépare les valeurs avant et après l'atelier, représentés en gris clair.

Tableau 2

		Diag par le pouls (PD) après séminaire											
		LU	LI	PC	TE	HT	SI	SP	LR	ST	GB	KI	BL
Diag par le pouls (PD) avant séminaire	LU	1	0,531	0,064	0,192	0,56	0,521	0,558	0,655	0,421	0,24	0,237	0,313
	LI	0,812	1	0,298	0,392	0,498	0,65	0,699	0,816	0,747	0,57	0,074	0,126
	PC	-0,196	-0,345	1	0,857	0,138	0,137	0,075	0,196	0,173	0,15	0,171	0,085
	TE	-0,142	-0,322	0,968	1	0,318	0,315	0,202	0,318	0,268	0,236	0,274	0,182
	HT	0,603	0,674	-0,256	-0,223	1	0,886	0,783	0,601	0,396	0,246	0,162	0,063
	SI	0,545	0,683	-0,204	-0,187	0,764	1	0,917	0,8	0,533	0,339	0,238	0,149
	SP	0,624	0,474	0	0,01	0,656	0,574	1	0,873	0,572	0,347	0,175	0,227
	LR	0,123	0,056	0,128	0,117	0,346	0,209	0,296	1	0,671	0,438	0,233	0,319
	ST	0,19	0,288	0,028	0,091	0,411	0,529	0,426	0,155	1	0,521	0,104	0,146
	GB	0,03	0,119	0,162	0,132	0,174	0,251	0,278	0,494	0,28	1	-0,158	-0,15
	KI	0,143	0,015	0,214	0,212	0,079	0,154	0,308	0,361	0,326	0,359	1	0,872
	BL	0,15	-0,052	0,145	0,192	0,048	0,089	0,246	0,273	0,294	0,295	0,823	1

Les résultats de l'étude confirment la possibilité d'utiliser des méthodes de diagnostics par réflexologie, chez les participants du séminaire d'autorégulation psychophysique «Ключ» " la clé", sous l'effet des Mantras tibétains et de rayonnements RPL de plantes médicinales et de minéraux. On découvre des changements caractéristiques de DPT et DEP, qui témoignent de la normalisation de l'état fonctionnel du système des méridiens d'acupuncture (CA) avec l'activation des organes internes.

Quel est le rôle du calculateur CBQ dans la présente l'étude ? Il est utilisé pour la conception des programmes de régulation ondulatoire des fonctions métaboliques et physiologiques des êtres humains. Il remplit, ce faisant, les fonctions suivantes:

1. lecture des informations à partir des substrats biologiquement actifs

2. conversion en une forme de polarisation modulée (du spin) des photons
3. la conversion de tels photons dans un rayonnement électromagnétique modulé à large bande (REMLB) avec la conservation de la bio-information originale
4. conversion du REMLB en signal acoustique (SA), en conservant la information originale
5. Régulation ajustable, non invasive, et sécuritaire des processus physiologiques et métaboliques, des personnes.

Conclusion.

Les résultats de la présente étude ont montré, que l'impact des Mantra tibétains et le rayonnement ondulatoire de polarisation électromagnétique et acoustique (ROPA) des plantes médicinales (l'Hélichryse, Gotu-Kola, Ginngo-Ti, Millepertuis, Gingembre, Agripaume, le chardon-Marie, etc..) et des minéraux (le B-quartz, la Citrine doré, la Pierre de soleil, le Topaze) a un effet positif sur les indicateurs de la DPA et DEP. Après le déroulement du séminaire sur l'autorégulation on assiste à l'activation fonctionnelle de l'ensemble des acides aminés. Cela apparaît plus clairement dans les indicateurs de DEP. L'analyse comparative des paramètres de DPA et DEP a montré des déviations analogues des paramètres de tension artérielle et montre une concordance entre les résultats, à l'exception du canal NT. DPA et DEP ont un caractère informatif, par des moyens simples, non invasifs de diagnostic par le programme de normalisation des fonctions des organes internes, qui est la base du développement des technologies de freinage du vieillissement chez l'être humain.

En général le présent travail confirme et élargit les résultats antérieurs [16] de la possibilité d'utiliser le calcul biologique quantique pour réguler les fonctions biologiques essentielles.

Bibliographie

1. Vasilenko A.M., Charipova M.M., Aliyev H.M.. Application complexe de la réflexologie et l'autorégulation psychophysique «Ключ» : "la clé". Manuel pour les médecins. M., 1998. 24 pages.
2. Gariaev P.P., Un examen des données scientifiques sur la disponibilité d'informations complètes sur la question du modèle canonique du code génétique. Nouvelles technologies médicales. Nouveaux équipements médicaux. 2008.- N° 1, pages. 30-49.
3. Mansurova R.A. « Trouves ta clé. Connais-toi toi-même. » Maison d'édition « Le chemin d'or » «Золотой путь», 1999. 80 pages.
4. Najimov O.K. Diagnostic du pouls, « Пульсовая диагностика»- M.: Style de profit, 2004. 392 pages.
5. Pranguichvili I.V., Gariaev P.P., Tertychny G.G., Maksimenko V.V., Mologuine A.V., Léonova E.A., Mouldachev E.R., Spectroscopie du rayonnement radio de photons localisés : Accès aux processus de bio-information quantique non-localisés. Capteurs et systèmes, 2000, N° 9 (18), pages 2-13.

6. Rozanov A.I.. Procédé électrodiagnostic « prévision » // Réflexothérapie. 2003. N° 1(4), pages. 26-36.
7. Tertychny G.G., Gariaev P.P., 2007, Les nanotechnologies génétiques ondulatoires de régulation des systèmes biologiques: « Волновые генетические нанотехнологии управления биосистемами ». Théorie et expériences. Nouvelles technologies médicales, №7, pages 49-64.
8. Togoev A.M., Usupbekova B.Sh., Rozanov A.L., Mansurova R.A. Comparaison des résultats du diagnostic de la tension artérielle et de l'électropuncture, en acquérant la maîtrise de la régulation psycho-physiologique. // Reflexothérapie.- 2006. n° 4(18) . pages. 46-55.
9. Usupbekova B.Sh., Rozanov A.L., Vasilenko A.M. Comparaison des résultats du diagnostic de la tension artérielle et de l'électropuncture // réflexologie. -2004.-n° 4(11). pages. 43-52.
10. Gariaev P.P., Chudin V.I., Komissarov G.G., Berezine A.A., Vasiliev A.A.. Mémoire holographique associative des systèmes biologiques, Proceedings of SPIE- The International Society for Optical Engineering. Mémoire optique et réseaux neuronaux. 1991, v 1621., page 280- à 291. USA.
11. Gariaev P.P., 2008, Le génome ondulatoire. Théorie et pratique. Monographie. 222 pages. Kiev. Science. (Dans la presse).
12. Leonard M.. Adleman (11/11/1994). « Computation Moléculaire de Solutions de problèmes combinatoires ». Science (Journal) 266 (11): 1021-1024, <http://www.usc.edu/dept/molecular-science/papers/fp-sci94.pdf>
13. Citation d'après l'article « Gene Génie ». Bass T.A., WIRED Archive 3.08. Aout 1995, page 8.
14. Gariaev. P.P., Birshtein . B.I., Iarochenko . A.M., Marcer. P.J., Tertishny. G.G., Leonova. K.A., Kaempf Uw., 2001, L'ordinateur biologique ADN. « CASYS » International Journal of Computing Anticipatory Systems (Editeur. Dubois D.M.), Liège, Belgique, v.10, pages 290-310. <http://www.rialian.com/rnboyd/dna-wave.doc>
15. Gariaev P.P., Kakoya A.A., Leonova-Gariaeva E.A., Mouldachev E.R., Moukhina E.V., Smelov M.V., Tertychny G.G., Tovmach A.V., Yagujinsky L.S., 2007, Les modèles théoriques de la génétique ondulatoire, et la simulation de l'immunité ondulatoire dans l'expérience. « Теоретические модели волновой генетики и воспроизведение волнового иммунитета в эксперименте». Nouvelles technologies médicales/ Nouveaux équipements médicaux, №11, pages. 26-70.
16. Gariaev P.P., Kakoya A.A., Moukhina E.V., Leonova-Gariaeva E.A., Kakoya N.G., 2007, Effets des rayonnement radio, modulés par les structures biologiques, sur le déroulement du diabète sucré alloxane, induit chez des rats. « Влияние модулированного биоструктурами электромагнитного излучения на течение аллоксанового сахарного диабета у крыс» . Bulletin EKPS. Biologie. et médecine , №2, pages 155-158 .

Résumé

Le son en tant que transporteur de l'information active biologiquement, produite par le spectre d'ondes radio issu de la polarisation du rayon laser.

Usupbekova B.Sh., Mansurova R.A., Gariaev P. P..

Les résultats des recherches effectuées ont montré, que l'influencent des Mantras Tibétains et de la forme acoustique de l'onde électromagnétique de polarisation-Laser (PLR) provenant des spectres des plantes curatives et de minéraux, ont un effet positif par les résultats du diagnostic tension artérielle et d'électropuncture.

L'activité fonctionnelle accrue de tous les canaux d'acupuncture est adoptée comme

une base pour le développement de technologies de freinage du vieillissement de la personne.